

The nature of the origin of the coronavirus revealed measures to stop the pandemic

Vasyl Korniienko* Academy diagnostics LLC, Odessa, Ukraine kornie905@gmail.com

Vasyl Belokrinitsky DM, prof, President International Bioenergy Technology Academy, Odessa, Ukraine bvs27@i.ua

Ivan Vikulin, Doctor of Physical and Mathematical Sciences, Prof. Odesa National Maritime Academy, Ukraine lepole1@gmail.com

Short name: Measures to stop the pandemic

Abstract

The cause of the natural hotbeds of the coronavirus pandemic is ambiguous, which causes its rapid development. This reason reveals a technique that shows that matter has a quantum electromagnetic field (QEF) that provides stability to the properties of any matter. It is shown that despite the absence of Sun activity, it generates waves of quantum electromagnetic energies (S-radiations). They contain information whose effect on the QEF of human matter causes the development of coronavirus in his body and the emergence of natural centers of pandemic. Measures have been proposed, the implementation of which will exclude the possibility of the emergence of natural centers of coronavirus and will revive the economy.

Abbreviation: QEF - Quantum electromagnetic field of matter;

S-radiations are quantum electromagnetic waves that the QEF of any matter generates;

EIF - energy information field;

Cosmic S-radiations - S-radiations that generate matter of any cosmic body, including the Sun;

GR – Geopathic radiation, which generates QEF matter Earth.

1. Introduction

Currently, there is no understanding and quantification of the dominant variable that causes the coronavirus pandemic outbreaks (1). Therefore, the effectiveness of quarantines leaves much to be desired. This is due to the fact that the coronavirus enters the human body in two ways. The first is a natural source of coronavirus infection, the origin of which is not reliably unknown to science. The second source of infection is a coronavirus-infected person who spreads infection in air-drip and other pathways that are known to science. Therefore, quarantines that are used to combat the spread of the pandemic do not exclude infection of people from the primary source of the coronavirus.

However, as a result of years of research on the brink of science, the paper shows that the natural source of the pandemic is information carried by waves of solar S-radiations. Under the influence of this information, natural centers of coronavirus arise in the human body, which are further distributed in known ways. There are no obstacles to the propagation of these waves. Therefore, natural contamination of people can occur through any walls and floors of buildings, which causes low efficiency of quarantines.

The article describes the reason that caused these waves, as well as the measures that the implementation of which can stop the emergence of natural centers of the coronavirus pandemic.

2. Results of researches

2.1 Origin of S-radiations

We first discovered, (2) that when a wooden, metal or plastic ruler is bent, they generate the same, according to experts, radiation, and the readings of the instrument confirm the presence of these radiation.

Consequently, in any matter, there is some structure that, when loaded on matter, generates these emissions, so they are called S-radiations (3). This structure was later determined to be the QEF of matter.

In order to increase the reliability and purity of experiments, we did not bend the rulers, but compressed them in laboratory tasks. The S-radiation property was used to exit matter through a sharpening.

Fig.1 and 2 show diagrams, which in automatic mode were output by the computer based on the results of the device readings. They show that the area of electrical discharges in the chamber of the instrument changes under the influence of S-radiations, which matter generates in response to the application of a load to it.

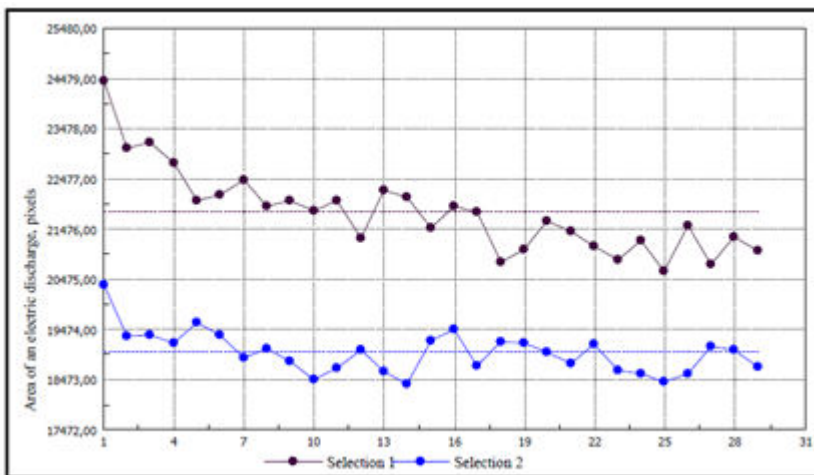


Fig.1 Diagrams of influence of S-radiation to steel ruler at its compression in teasks, on the area of electric discharge in the device

Where: sample 1 - the ruler is not compressed in teasks;

2 - the ruler is compressed in teasks with force of 10 N x m

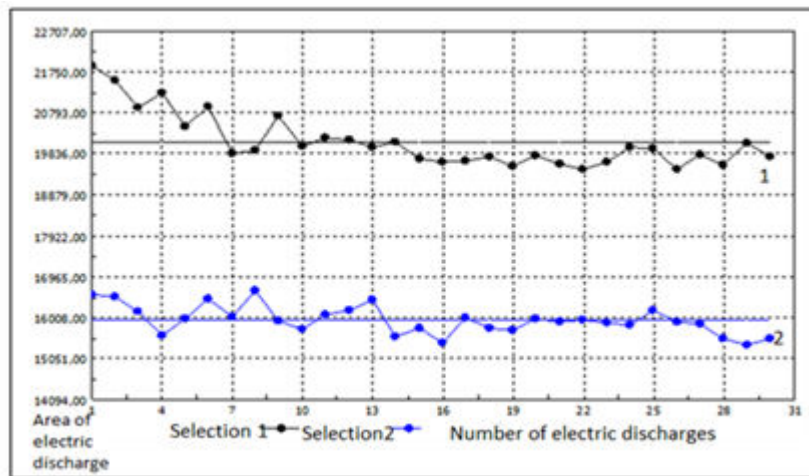


Fig. 2 Diagrams of influence of S-radiation of wooden ruler, when it is compressed in teasks, on area of electric discharge in device.

Where: sample 1 - the ruler is not compressed in tasks;

- The ruler is compressed in teasks with force of 10 N x m

These diagrams show that applying a load to any matter causes S-radiation to come out of its subsoil. The origin of S-radiations follows Einstein 's statement that: "Matter and radiation, according to a special theory of relativity, are only special forms of energy distributed in space; Thus, a massive mass loses its special position and is only a special form of energy. " (4). Consequently, the interaction of the energies of the elementary particles from which matter is composed in accordance with the electrodynamics (5) forms a QEF therein. Therefore, any loads applied to matter cause disturbance of its QEF at the level of the energies of elementary particles in the form of waves of quantum electromagnetic energies, i.e. C-radiations, which does not violate the law of energy conservation in relation to the common electromagnetic field (6).

2.2 Origin of GR and space S-radiation

It is known that all celestial bodies are exposed to gravity and other forces, so QEF of their matter generates cosmic S-radiations. Earth 's matter also generates S-radiations, which are called GR, which reveals their origin. The main tool used by researchers to determine the

location of GR in studying their health effects was a biolocation frame not recognized as a physical instrument. We have applied, according to the methods, the device GRV-compact and, as an auxiliary means - sensations in the palms of experts only because the device is a discrete principle of action. This allowed for the first time to obtain a diagram of the change in the level of GR energies within 24 hours, which is presented in Fig.3

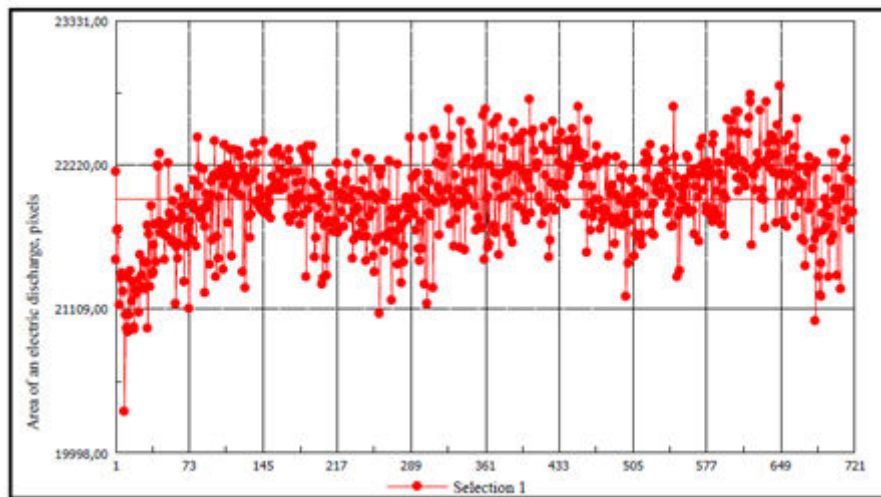


Fig. 3 Diagram of influence of GR energies on the area of electrical discharges in the instrument for 24 hours with interval of 2 minutes.

This diagram shows that GR vary in sinusoid. The uneven periods of this sinusoid are due to the addition of gravity forces, mainly from the Sun and the Moon, which revolves around the Earth in a complex orbit. These forces and cause stresses in the Earth 's matter and disturbance of its QEF in the form of S-radiations, i.e., HI. It follows from this diagram that the GR consist of the S-radiation that the QEF generates of the Earth 's matter, as well as the cosmic S-radiation that the QEF generates of the matter of all celestial bodies. Thus, this diagram confirms that the emission of S-radiation does not contradict the law of energy conservation for the electromagnetic field (6).

2.3 Technogenic S-radiations

We have found that when we cross the S-radiations of a closed circuit, quantum currents occur in it, which form a quantum field in this circuit. Therefore, S-radiations are quantum electromagnetic energy and are subject to the Faraday electromagnetic induction law, on which the principle of operation of all electric machines, which have a stator and a rotor, is based. Therefore, any electric machine is also a generator of quantum currents, and with them S-radiations.

The origin of quantum currents causes rotation of the rotor of the electric generator, as a result of which centrifugal forces arise in it, which cause deformation of its matter and disturbance of its QEF in the form of S-radiation. These S-radiations cross stator windings and induce quantum currents in them. For this reason, power plant generators produce an electric current that also has quantum currents, which is unknown to science. They, together with the electric current, enter a technique that converts them into S-radiations and emits them into the environment.

Therefore, any technique that uses electricity generates technogenic S-radiations that negatively affect health (7.8). Including household appliances, any cars, cellular communication, etc.

S-radiation is felt by many people, which allowed us to reveal many of their properties with the help of sensory sensations. On their basis we have developed devices for neutralization of S-radiation in the technology. This device allowed to carry out interagency tests of taste qualities of products stored in household refrigerators (9). They showed that the S-radiations that the refrigerator produces are absorbed into the products stored in it, which significantly impairs their taste. At the same time, it was found that permanent magnets, which are used in refrigerators to press the door to the refrigerator body, also generate S-radiation, (10).

The device also produced a diagram of the change in S-radiation that generates cellular antennas mounted on the roof of the Promsvyaz plant building, Odessa, Figure 4.

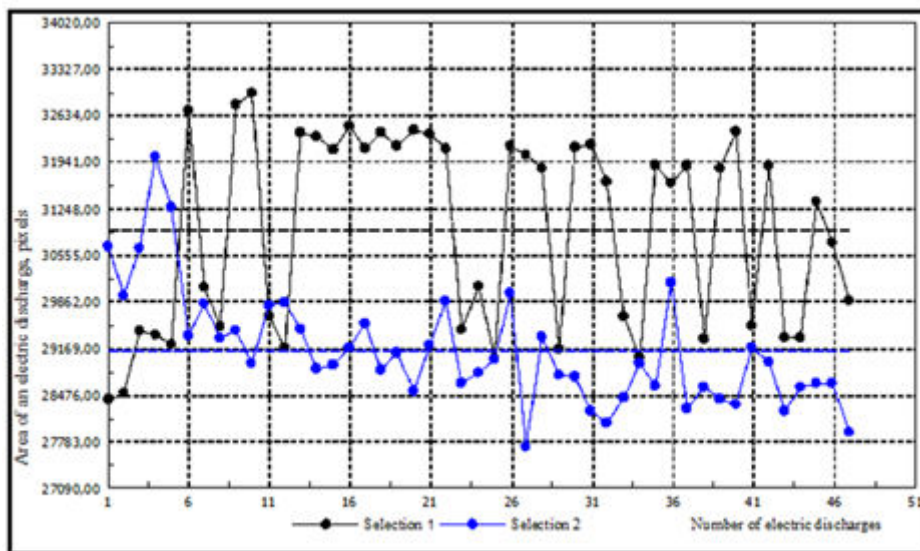


Fig. 4 Diagrams of change of S-radiation level of cellular communication antennas as a result of their neutralization

Where: sample 1 - neutralizer of S-radiation is connected to electric power supply of the station;
Sample 2 - the neutralizer is not connected to the cell site network.

These diagrams show that cellular antennas generate S-radiation streams into the environment (sample 2). However, when connecting the S-radiation neutralizer to the mobile communication station, the influence of the S-radiation generated by its antennas on the area of the gas discharge in the instrument decreased (sample 1). It follows from these diagrams that cellular antennas massively generate high frequency S-rays into the environment. They have a negative effect on the QEF of human matter, which impairs health.

2.4 Influence of S-radiation of equipment on environmental stability

The matter the environment consists of also has QEF. The origin of S-radiation causes their natural ability to influence the QEF parameters of any other matter. This is evidenced by the results of the tests of the effect of S-radiation of different origin on health, which we carried out

on ourselves. They have shown that their effects negatively affect the stability of the human body 's QEF parameters, thereby affecting the stability of its matter and health. Consequently, the mass emission of S-radiation from technology into the environment violates the stability of the QEF parameters of the matter of the environment, as followed by the reaction of the Cosmos, as described below.

2.5 Occupation of Earth and Sun EIF

In the fall of 2002, we sensationally discovered an area in Space that stood out sharply against the background of the night sky with its powerful S-radiations. It grew rapidly and in the summer of 2003 arrived on Earth in the form of a huge EIF, (11). On arrival, the bulk of the EIF left for the North. But near Odessa three fields of 10 km in diameter and 1.5 km high separated from it. Soon they split into EIF, the diameter of which did not exceed 1.5 km. A month later and these fields split into smaller EIFs, the diameter of which did not exceed 30 meters. These EIF bunches and quite purposefully spread in different directions throughout Eurasia and, most likely, throughout the Earth. They hung near cellular antennas, from where S-radiations were sucked by thin beams, without forgetting to suck, through any closures of buildings, quantum energy from people and household appliances. The power of this suction was then such that in many it caused dizziness. But the impact of this EIF people did not feel, and there was no opportunity to hide from them.

At the same time, we found that if to the side of the EIF, which hangs over the house, mentally utter the phrase: "You are not present, does not exist, fight," then it instantly flew away. We have therefore concluded that EIFs are a reasonable form of extracellular life. This phrase we have recorded on a tape recorder and for many years we have effectively used its translation to clean the building from EIF.

The arrival of the EIF on Earth was marked by the fact that more than 70,000 people died in Paris and northern Italy during August 2003, and another 10,000 people died in a small town

in the United States. Science has found that human death was due to cardiovascular failure, which was caused by the 40 degree heat that stood at that time. This is, of course, nonsense, because people do not die at much higher temperatures as well. But the properties of the EIF show that the heat only relaxed people, allowing the EIF, (which at the time had a diameter of 1.5 km), to suck energy out of them without a limit. This has led to massive deaths from cardiovascular failure. Soon, the EIFs were divided into smaller fields, as a result of which the power of their suction of energy from people decreased, so the mass loss of life stopped.

By the end of 2004, EIF had dropped out of the atmosphere and occupied buildings and transport. At the same time they merged with GR, from where quantum energies suck, so it is no longer possible to determine the location of GR using a biolocation frame. However, if the building is cleaned from the EIF by translation of the above record, the biolocation frame immediately begins to work as before. This indicates that the building was occupied by EIF, which can be installed using the GRV-compact device and other devices.

As a result. of the EIF occupying the Earth, humanity has found itself in an environment that constantly sucks quantum energy from technology and humans. This causes the growth of EIF and with it the increase of suction from people of vital energies. As a result, there is a further deterioration of human health and the death of perfectly healthy people, including athletes. Therefore, it is necessary, based on standards, to eliminate the emission of S-radiation from the technology, which will stop the growth of EIF and improve the health of the population.

2.6 Solar S-radiation waves and their registration

In the summer of 2003, when the EIF had a diameter of about 1.5 km, the Sun was extremely active and its S-radiations burned the skin. At the same time, we found that if a car enters under the cover of such an EIF, the sun 's rays stop burning the skin. Consequently, EIF sucks quantum energy from the Sun, so it occupied only Earth, but also the Sun.

Given that any matter consists of energies and has QEF, the matter the Sun consists of, in energy terms, is no different from the matter of the human body. Consequently, the Sun 's matter also has QEF, on whose operating parameters the stability of its physical state depends. Therefore, the mass loss of life in August 2003 suggested that EIF suction from the Sun would have the same effects as those people. Consequently, the Sun 's occupation of EIF will result in at least a decline in its activity, as reported at the World Climate Change Conference, (11).

However, the first effects of sucking quantum energies from the Sun were evident only in spring 2012. Then there was cool weather, which every 2-3 minutes was replaced by unusual heat. So we sensually scanned the space from Earth to the Sun. At the same time it was found that from it one after another there are waves of solar S-radiation, which bring this high-temperature heat.

There are no instruments for recording these waves, so the physics of the National Academy of Sciences of Ukraine banned the astronomical journal from publishing our article about it. Yet since then, these waves have been going almost constantly. But the science of them does not know anything so far, because the S-radiation spectrum does not work.

Therefore, in order to obtain an objective assessment of the existence of these waves, we, in accordance with the Methods, measured the bark temperature of several trees from the solar and shadow sides from December 2019 to February 2020. At the same time, it turned out that on the solar side of the tree bark the periods warmed up to 54 degrees Celsius, and on the shadow side does not differ from the air temperature. As a result, the contrast of tree bark temperature ranged from 2 to 48 degrees.

These measurements were made in windless solar weather, so only solar heat could affect the amount of this contrast. However, the Sun, according to data from the Internet, has reduced its activity unprecedented since 2018, so the heat flow of solar heat is stable. Consequently, the change in the contrast of the bark temperature is an objective confirmation of the existence of

solar S-radiation waves. At the same time, the heat that these waves contain compensates for the decrease in heat flow from the Sun that came to Earth at the time of its activity. Therefore, the expected small ice age never came.

2.7 Origin of Natural Centers of Coronavirus Pandemic

Science does not yet have a clear opinion on the origin of viruses (13). At the same time, the experiment, which at the 1 International Congress: "Weak and ultra-weak fields and radiation in biology and medicine," psychic N.S. Kulagina sheds light on their origin. She demonstrated how, under the influence of S-radiations that came from her palms, an unknown form of life arose in a sealed ampoule with water (3). Therefore, the information that S-radiations contain affects the QEF of water, resulting in a new form of life in the form of a virus.

It is also known that the effects of GI that pass through any building closures cause many diseases (14-16). The mechanism of their origin is due to the fact that GR, (these are the same S-radiations), cause indignation in QEF matter of the body. As a result, viruses and, as a result, diseases are formed in it, (2).

In addition, in summer 2019 in Odessa many people complained that on the beach, with good weather and lack of wind, they suddenly had a cold. And it did not pass for a very long time, and sometimes was accompanied by high temperature.

Corresponding author of this article then also received such a cold. The body temperature did not rise, but after about 3-4 weeks the infection dropped into bronchi and began to leave characteristic sputum. Moreover, they had the unusual property of clinging to wet faience or plastic so that a strong jet of water did not wash them away. The cause of this property has recently been uncovered by American virologists, who have found that its protein formation of a stud-shaped coronavirus captures foreign cells 4 times stronger than the previous SARS virus, (17).

Consequently, the unusual chainness of the sputum indicates that its former owner overreacted with a coronavirus infection that was contained by waves of solar S-radiations.

The ability of C-radiation to carry information is shown in (3). During the initial stages of S-radiation research, we developed various types of information that can affect health. Including S-radiations, which contained information increasing sexual potency. At the same time, it was found that it affects men and women through two reinforced concrete walls better than Viagra. Therefore, solar S-radiations are capable of carrying information, including information that causes the development of coronavirus in the body. And it acts on a person through reinforced concrete barriers.

Consider now the reason why the Sun generates information calling for the development of the coronavirus. (3) shows that any sick human organ generates S-radiations whose information reflects its physical condition.

However, above, it has been shown that EIF suction from the Sun of quantum energy, affects the performance parameters of its QEF, which impairs the physical condition of the Sun. In fact, it 's sick. As a result, its QEF generates waves of solar S-radiations, and with them information that reflects its state. This information affects human QEF, resulting in coronavirus and other infections in its body.

In addition, as shown above, all bodies of the universe generate cosmic S-radiations. Some of them contain information whose effects can create various viruses in the human body. This is the cause of diseases whose origin is unknown.

After development in the body of the coronavirus, this infection acquires the property of being transmitted by air-drip and other routes that are known to medicine. However, this also does not exclude the possibility of infecting people through information contained in new solar S-radiation streams. Therefore, in order to prevent the emergence of natural sites of coronavirus

infection and increase the effectiveness of quarantines, it is necessary to protect the population from information contained in solar S-radiations. Measures for this protection are given below.

However, when analyzing the causes of rapid spread in the world of coronavirus, the results of our observations in the spectrum of S-radiation are alarming. They showed that outbreaks of coronavirus hotbeds in Italy and other EU countries, preceded by the following. In geocentric orbit, 2 objects slowly moved on the traverse of Odessa from East to West at an interval of 120 degrees, for several days. From them came the most powerful S-radiations for which 5 floors, which were in the building above us, were not a barrier at all.

This suggests that the S-radiation of these objects increased the effect of solar C-radiation waves, which caused mass coronavirus foci. Therefore, they are located mainly in countries that are located along the trajectory of movement of these objects around the Globe from East to West.

It therefore appears that such facilities need to be monitored and available security measures taken.

2.8 Measures to prevent the formation of natural coronavirus hotbeds

In (3) it is shown that people from a long time were familiar with similar information attacks from Space. Traditional roofs of buildings in China that have pagoda were used to protect against them, for example. This shape of the roof causes the runoff of cosmic S-radiations, which form a quantum field reflecting cosmic S-radiations. Therefore, such a roof protects people from viral infections of cosmic origin in buildings and adjacent areas. It seems that it was these roofs, or designs of similar purpose, that caused the rapid attenuation in China of the pockets of the coronavirus pandemic.

Therefore, in order to protect the population of cities from the emergence of natural centers of the pandemic, it is advisable to equip the highest houses with tent-type roofs with pagoda or other structures of similar purpose.

In addition, people should be in the open air more during quarantines. At the same time, it is necessary that buildings, pedestrians and transport have protection against space S-radiation.

3. Discussion

The article shows that physics 's lack of S-radiation knowledge has led to a lack of standards to limit them in engineering. Therefore, the technique (mainly cellular communication and high-frequency technique) continuously generates S-radiation into the environment, which can destabilize its matter. For this reason, Earth and the Sun seem to have occupied the EIF, which sucks quantum energy out of engineering, the Sun and humans. The sun responds to this impact of EIF by generating waves of solar S-radiation, the information of which causes the development of natural coronavirus centers in the human body.

Therefore, in order to stop the pandemic, in addition to quarantines, measures must also be taken that eliminate the conditions for the emergence of natural coronavirus hotbeds. For what we offer:

1. With the help of radio stations of long-range space communication, clear the Sun from the EIF. The team record for this is designed and tested by us. This will allow to temporarily restore the activity of the Sun in 2-3 days and stop waves of solar S-radiation, and with them the emergence of natural centers of coronavirus. In parallel, the following measures should also be implemented.
2. Train personnel in knowledge in the field of S-radiation and on the basis of standards eliminate the emission of S-radiation from the world technology. This will halt the growth of EIF, improve human health and allow the destruction of EIF on Earth and in Space to proceed;

3. Equip the tallest buildings in populated places with structures that reflect cosmic S-radiations. This will eliminate the occurrence of natural pockets of the coronavirus pandemic and increase the effectiveness of quarantines;
4. Equip all transport with devices that create a quantum field that reflects cosmic S-radiations, which will eliminate the formation of natural centers of the pandemic;
5. Equip pedestrians with light cloaks and hats whose material reflects cosmic, including solar S-radiations, which will protect them from natural infection with coronavirus and other viruses.
6. To develop a record of quantum energies, the translation of which will destroy the information that causes the development of the coronavirus.
7. Equip all 42,000 Starlink satellites with devices that form a cantonal field that reflects solar S-radiations, and with them the information that causes the development of the coronavirus. This measure will also protect satellite equipment from solar S-radiations, which will increase its reliability
7. It is the responsibility of the United States and other space forces to identify space objects in the S-radiation spectrum that pose a potential threat and take the necessary protective measures.

To implement these measures, we have developed the necessary technical solutions.

Their implementation will increase the effectiveness of quarantines, accelerate the elimination of the coronavirus pandemic, and lead to a rise in production and a revival of the economy.

The authors invite everyone to participate in the discussion of this article.

4. Acknowledgements

The paper shows that matter has QEF. The authors express gratitude to Doctor of Physical and Atomic Sciences, Professor of Astronomy Department of Odessa State University named after Mechnikov, V.G. Karetnikov, Doctor of Physical and Mathematical Sciences, Professor, Director of the Main Astronomical Observatory of the National Academy of Sciences of Ukraine, Yatskiv Y.S. for providing telescopes on determination in 2002-2003, as well.

5. The competing interests

Authors declare lack of the competing interests

6. Literature

1. Scott P. Layne, James M. Hyman, David M. Morens and Jeffery K. Taubenberger. New coronavirus outbreak: Framing questions for pandemic prevention *Science Translational Medicine* 11 Mar 2020: Vol. 12, Issue 534, eabb1469 DOI: 10.1126/scitranslmed.abb1469
2. Korniienko V. Unknown radiations of the known materials (1999)//Hygiene of the inhabited places. Ukrainian scientific hygienic center. Release 34.. Page 382-386.
3. Korniienko V. The radiations causing diseases. Publishing house Kiev un-that (2002) Page 148
4. Einstein A. Air and relativity theory. Collection of scientific works. In four volumes (1965 — 1967) Volume 1. Page 685.
5. Maxwell J. K. The chosen compositions according to the theory of the electromagnetic field. — M.: GITTL, (1952). Page 632
6. Poynting J H On the Transfer of Energy in the Electromagnetic Field. (1884) (Philosophical Transactions of the Royal Society of London. 175: 343–361)

7. Belocrinicki V.S. Electromagnetic waves and new technologies of human health improvement. (2008) prod. PE "Photosynthetic," Odessa, 316 pages.
8. Belocrinicki V.S. Brain changes under microwave field action. (2002) Odessa Medical University. 399 pages.
9. Korniienko V, Krasnovsky I, Filiptsov S. A research of safety of products in refrigerators (2005) //the Refrigerating equipment and technology. No. 4.c.57-60.
10. Korniienko V. On Standardization of C-Radiation Generated by Permanent Magnets. (2005)//Refrigeration and Technology № 6 c.102-104
11. Korniienko V. The Cause of Climate Change and How to Address It (2003) //World Conference on Climate Change Report Talking Points. Moscow 29 September - 3 October p. 509 (Ru)
12. Korniienko V. G. Ecological disaster caused by the growth of extracellular.//Hygiene of the population. Institute of Hygiene and Medical Ecology named after O.M.Marzeyev of the Academy of Medical Sciences of Ukraine. Release 46. 2005. page 547-554.
13. Patrick Forterreab The origin of viruses and their possible roles in major evolutionary transitions Virus Research Volume 117, Issue 1, April 2006,
Pages 5-16 <https://doi.org/10.1016/j.virusres.2006.01.01011>
14. Dubrov A.P.. Terrestrial radiation and human health. Publishing house M.: Argumenty i Fakty (1992) Page 57
15. Bachler K. Eartch Radiation.(!989) Manchster, Wordmasters
16. Hartmann E. Krankhelt ats Standortproblem (1976).
17. Shang, J., Ye, G., Shi, K. *et al.* Structural basis of reQEFtor recognition by SARS-CoV-2. *Nature* (2020). <https://doi.org/10.1038/s41586-020-2179-y>

7. Additional materials

1. Methods

Based on the application of the GRV Compact (GDV Scientific Laboratory), which is produced in Russia and certified in the USA, Japan, EU and other countries. With this instrument, we assessed the effect of S-rays, on the area of the electric discharge in its gas discharge chamber, in pixels, which are easy to count into decibels. This device is discrete, so the research also involved sensory sensations in the palms of experts. The latter made it possible to significantly accelerate research and reveal many properties of S-radiations, including that they extend beyond matter through its sharp edges. We used this S-radiation property in the design of the device described below, which was supplemented by the GRV compact device, which allowed to obtain the results of research in real time.

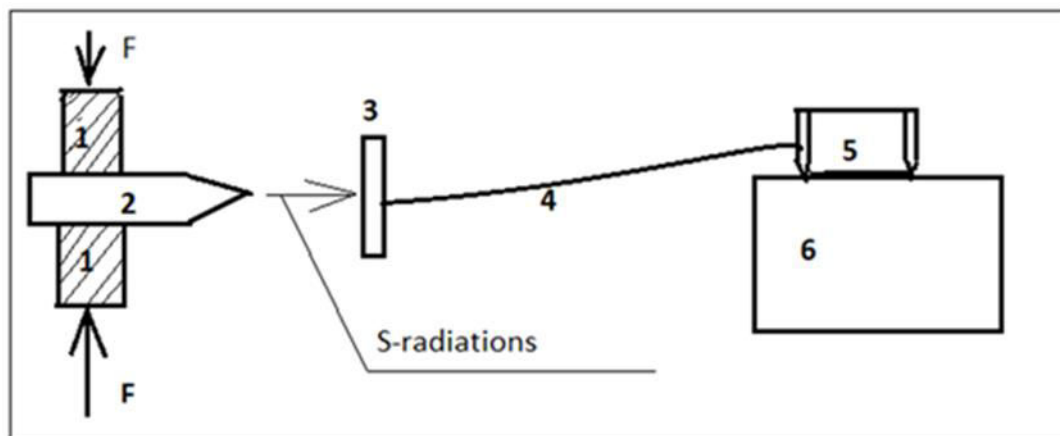


Fig. 1 Block - diagram of experimental installation

Figure 1 shows the tasks 1, in which a wooden ruler (650x20x6 mm) was compressed with force F (10 N x m), as well as a metal ruler (180x20x5 mm), 2, which had a sharpening at one end. As a result of line compression, S-radiation flow comes out of their point. The apparatus mentioned above was used to evaluate it. It consisted of a sensor 3, which was installed in a C-radiation stream, 80 mm from the tip of the lines. Sensor 3 is made in the form of a plate of beryllium bronze (20 x 20 x 1 mm) which was connected a screened electric wire 4 to a copper ring 5 (50 x

10 mm), which one end face had a point. This ring we installed above the gas discharge chamber of the GRV compact 6, pointed end face towards the chamber.

Measurements were performed automatically, without the presence of people. At the same time parameters of electric discharge in the camera of the device were recorded by a video camera.

The number of pulses in the series was set to 30 to 40. Time between pulses - 3 sec. If there are sharp deviations in the sample population, 1-2 results were excluded from calculations.

We used the same sensor to measure the GI level. For this purpose it is installed in horizontal position on focus of GOP beam, i.e. in its central part, where intensity of radiation is maximum. The duration of measurements is 24 hours. The interval between pulses is 2 minutes.

An organic glass tube having a length of 150 mm and a diameter of 40 mm with an axial opening of 10 mm was used as a receiving device to estimate the S-radiation generated by the cellular antennas. At the end of the tube there is a miniature microphone, the leads of which were connected to the speaker through a magnetic amplifier. To cut off the electromagnetic waves of cellular communications, the speaker was connected, via magnetic isolation, by a single-core wire to the above-described ring 5, which was mounted above the chamber of the GRV compact 6 instrument. This tube was mounted on a tripod 30 meters away from the cellular antenna and was aimed at it. Measurements of S-radiation level, which came from cellular communication antennas, were carried out with the help of GRV-compact device in two modes. The first is the normal mode of operation of the antenna. The second is after connecting the S-radiation neutralizer to the power terminals of the 380V cellular workstation, which converts and transmits signals to cellular antennas. The neutralizing device was developed by us on the basis of S-radiation properties, the efficiency of which has previously been repeatedly tested.

Mathematical processing of measurement results was carried out by a computer using a multi-factor program using methods of mathematical statistics and probability theory with an error of up to 95%, which was given by the result in the form of diagrams.

In order to confirm the presence of solar C-radiation waves and assess their effect on the heating of tree bark, we used a manual pyrometer of type MS6531C. With its help we, from a distance of about 1 meter, measured the temperature of the bark of trees on the solar and shadow sides with accuracy to tenths of a degree.

Природа происхождения коронавируса раскрыла меры для остановки пандемии

The nature of the origin of the coronavirus revealed measures to stop the pandemic

Vasyl Korniienko*, PhD, Director “Academy diagnostics” LLC, Odessa, Ukraine
v.gkorn@ukr.net

Vasyl Belokrinitsky DM, prof, President International Bioenergy Technology Academy, Odessa, Ukraine bvs27@i.ua

Ivan Vikulin, Doctor of Physical and Mathematical Sciences, Prof. Odesa National Maritime Academy, Ukraine lepole1@gmail.com

Реферат

Причина возникновения природных очагов пандемии коронавируса неоднозначна, что обуславливает её быстрое развитие. Эту причину раскрывает методика, которая показывает, что материя имеет квантовое электромагнитное поле (КЭП), которое обеспечивает стабильность свойств любой материи. Показано, что не смотря на отсутствие активности Солнца, оно генерирует волны квантовых электромагнитных энергий (С-излучений). Они содержат информацию, воздействие которой на КЭП материи человека обуславливает развитие в его организме коронавируса и возникновение природных очагов пандемии. Предложены меры, реализация которых исключит возможность возникновения природных очагов коронавируса и оживит экономику.

Аббревиатура: КПЭ – Квантовое электромагнитное поле материи;

С-излучения – квантовые электромагнитные волны, которые генерирует КЭП любой материи;

ЭИП – квантовое энергоинформационное поле космического происхождения;

Космические С-излучений – С-излучения, которые генерируют КЭП материи космических тел, в том числе и Солнца;

ГИ – это С-излучения, которые генерирует КЭП материи Земли.

Введение

В настоящее время нет понимания и количественного определения доминантной переменной, которая обуславливает вспышки пандемии коронавируса (1). Вследствие чего эффективность карантинных мер оставляет желать много лучшего. Обусловлено это тем, что коронавирус проникает в организм человека двумя путями. Первый из них это природный источник заражения коронавирусом, происхождение которого достоверно не известно науке. Вторым источником заражения – это инфицированный коронавирусом человек, который распространяет инфекцию воздушно-капельным и другими путями, которые известны науке. Поэтому карантинные меры, которые применяют для борьбы с распространением пандемии, не исключают заражения людей от первичного источника коронавируса.

Вместе с тем, в результате многолетних исследований на грани наук, в статье показано, что природным источником пандемии является информация, которую переносят волны солнечных С-излучений. Под воздействием этой информации в организме человека возникают природные очаги коронавируса, которые в дальнейшем распространяются известными путями. Для распространения этих волн преград не существует. Поэтому природное заражение людей может происходить сквозь любые стены и перекрытия зданий, что обуславливает низкую эффективность карантинных мер.

В статье раскрыта причина, которая обусловила появление этих волн, а также приведены меры, осуществление которых способно остановить возникновение природных очагов пандемии коронавируса.

2. Результаты исследований

2.1 Происхождение С-излучений

Мы впервые обнаружили, (2), что при изгибе деревянной, металлической или пластмассовой линейки, они генерируют одинаковые, по оценкам экспертов, излучения, а показания прибора подтверждают наличие этих излучений.

Следовательно, в любой материи некая существует структура, которая при нагрузке на материю, генерирует эти излучения, поэтому и назвали их С-излучения (3). Позднее установили, что этой структурой является КЭП материи.

Для повышения надёжности и чистоты экспериментов, мы не изгибали линейки, а сжимали их в лабораторных тисках. При этом использовали свойство С-излучений выходить из материи через заострение.

На рис.1 и 2 показаны диаграммы, которые в автоматическом режиме выдавал компьютер по результатам показаний прибора. Они свидетельствуют о том, что площадь электрических разрядов в камере прибора изменяется под воздействием С-излучений, которые генерирует материя в ответ на приложение к ней нагрузки.

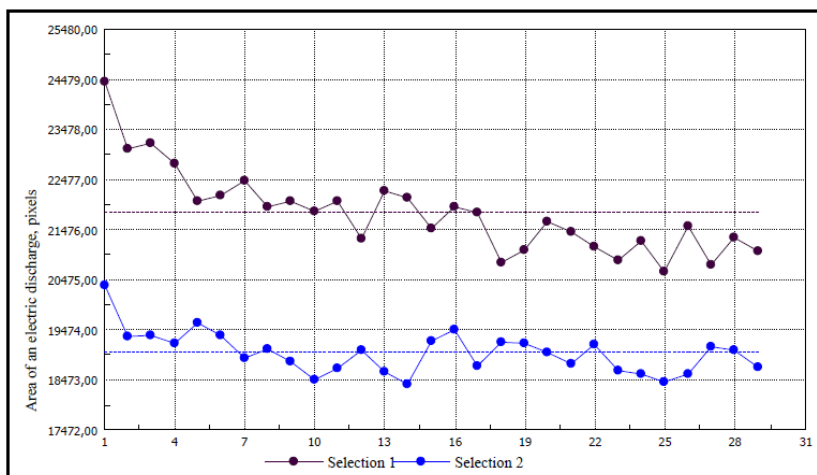


Рис.1 Диаграммы влияния S-излучений стальной линейке при её сжатии в тисках, на площадь электрического разряда в приборе

Где: выборка 1 – линейка не сжата в тисках;

2 – линейка сжата в тисках с усилием 10 Н х м

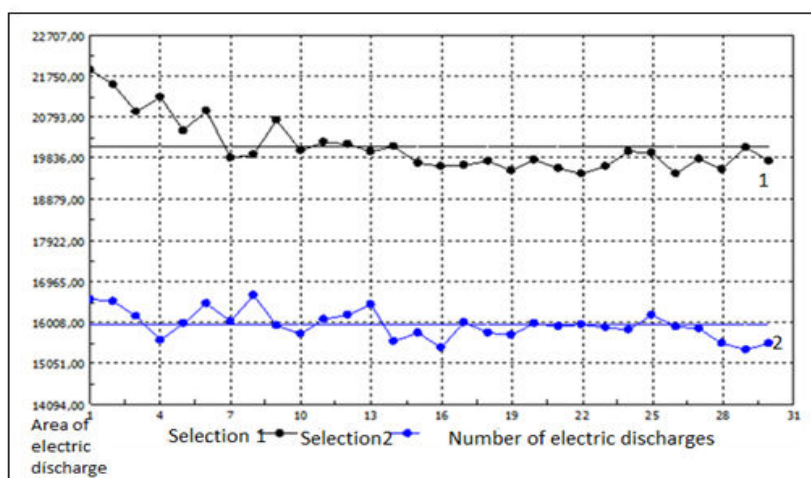


Рис. 2 Диаграммы влияния S-излучений деревянной линейке, при её сжатии в тисках, на площадь электрического разряда в приборе.

Где: выборка 1 – линейка не сжата в тисках;

- линейка сжата в тисках с усилием 10 Н х м

Эти диаграммы свидетельствуют, что приложении нагрузки к любой материи, обуславливают то, что из её недр выходят С-излучения.

Происхождение С-излучений следует из заявления Эйнштейна о том, что: «Материя и излучение, согласно специальной теории относительности, являются только особыми формами энергии, распределенной в пространстве; таким образом, весомая масса теряет своё особое положение и является лишь особой формой энергии.» (4). Следовательно, взаимодействие энергий элементарных частиц, из которых состоит материя, в соответствии с электродинамикой (5), образует в ней КЭП. Поэтому любые нагрузки, приложенные к материи, вызывает возмущение её КЭП на уровне энергий элементарных частиц в виде волн квантовых электромагнитных энергий, т.е. С-излучений, что не нарушает закон сохранения энергии применительно к общему электромагнитному полю (6).

2.2 Происхождение ГИ и космических С-излучений

Известно, что все небесные тела подвержены воздействию гравитации и других сил, поэтому КЭП их материи генерирует космические С-излучения. Материя Земли также генерирует С-излучения, которые называют ГИ, что раскрывает их происхождение. Основным инструментом, который использовали исследователи для определения места нахождения ГИ при изучении их влияния на здоровье, являлась биолокационная рамка, не признанная как физический прибор. Мы же применили, согласно методам, прибор ГРВ-компакт и, как вспомогательное средство - ощущения в ладонях экспертов только потому, что прибор этот дискретного принципа действия.

Это позволило впервые получить диаграмму изменения уровня энергий ГИ в течение 24 часов, которая представлена на рис.3.

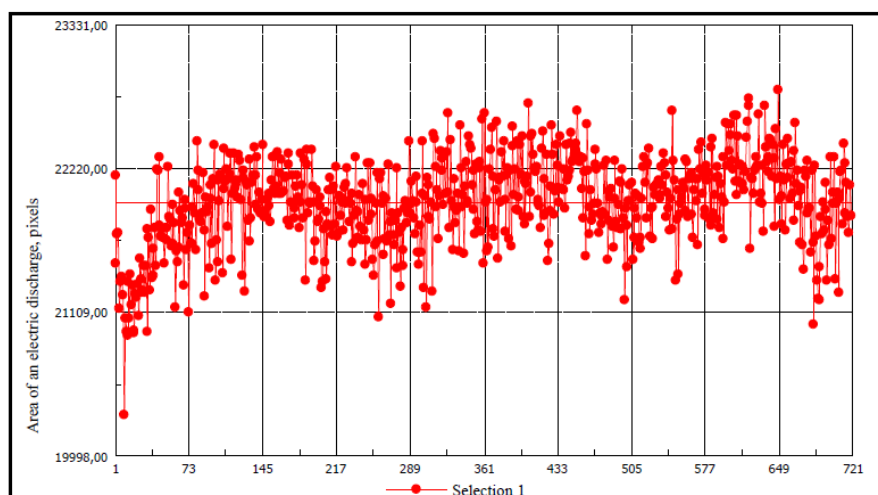


Рис. 3 Диаграмма влияния энергий ГИ на площадь электрических разрядов в приборе на протяжении 24 часов с интервалом 2 минуты.

Из этой диаграммы следует, что ГИ изменяются по синусоиде. Неравномерность периодов этой синусоиды обусловлено сложением сил гравитации, главным образом, от Солнца и Луны, которая вращается вокруг Земли по сложной орбите. Эти силы и вызывают напряжения в материи Земли и возмущение её КЭП в виде С-излучений, т.е. ГИ. Из этой диаграммы следует, что ГИ состоят из С-излучений, которые генерирует КЭП материи Земли, а также из космических С-излучений, которые генерирует КЭП материи всех небесных тел. Тем самым эта диаграмма подтверждает, что выброс С-излучений не противоречит закону сохранения энергии для электромагнитного поля (6).

2.3 Техногенные S-излучения

Мы обнаружили, что при пересечении S-излучениями замкнутого контура, в нём возникают квантовые токи, которые образуют в этом контуре квантовое поле. Следовательно, С-излучения являются квантовой электромагнитной энергией и подчиняются закону электромагнитной индукции Фарадея, на котором основан принцип действия всех электрических машин, в составе которых имеется статор и ротор. Поэтому любая электрическая машина является также генератором квантовых токов, а с ними и С-излучений.

Происхождение квантовых токов обуславливает вращении ротора электрического генератора, в результате чего в нём возникают центробежные силы, которые вызывают деформацию его материи и возмущение её КЭП в виде S-излучений. Эти С-излучения пересекают обмотки статора и индуктируют в них квантовые токи. По этой причине генераторы электростанций вырабатывают электрический ток, в составе которого

имеются также квантовые токи, что науке неизвестно. Они, вместе с электрическим током, поступают в технику, которая преобразует их в С-излучения и выбрасывает в окружающую среду.

Поэтому любая техника, в которой используется электроэнергия, генерирует техногенные S-излучения, которые негативно влияют на здоровье, (7,8). В том числе бытовая техника, любые автомобили, сотовая связь и т.п.

С-излучения ощущают многие люди, что позволило нам с помощью сенсорных ощущений раскрыть многие их свойства. На их основе мы разработали устройства для нейтрализации С-излучений в технике. Это устройство позволило провести межведомственные испытания вкусовых качеств продуктов, которые хранились в бытовых холодильниках, (9). Они показали, что С-излучения, которые вырабатывает холодильник, впитываются в хранящиеся в нём продукты, что значительно ухудшает их вкус. При этом установили, что постоянные магниты, которые применяются в холодильниках для прижима двери к корпусу холодильника, также генерируют С-излучения, (10).

Устройство это позволило также получить диаграмму изменения С-излучений, которые генерируют антенны сотовой связи, установленные на крыше здания завода Промсвязь, Одесса, рис. 4.

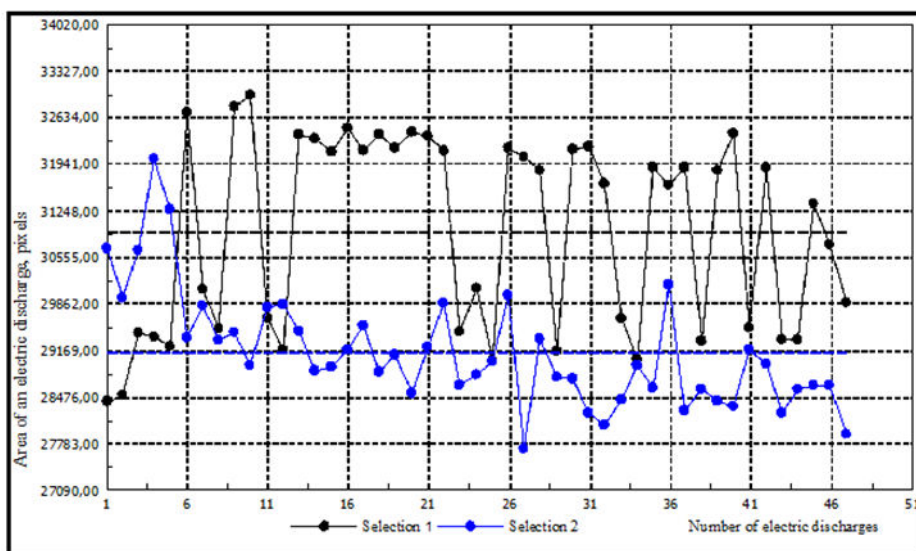


Рис. 4 Диаграммы изменения уровня S-излучений антенн сотовой связи в результате их нейтрализаций

Где: выборка 1 - нейтрализатор S-излучений подключен к электрической сети питания станции; выборка 2 – нейтрализатор не подключён к сети станции сотовой связи.

Эти диаграммы свидетельствуют, что антенны сотовой связи генерируют в окружающую среду потоки S-излучений (выборка 2). Однако, при подключении нейтрализатора S-излучений к станции мобильной связи, влияние S-излучений, которые генерирует её антенны, на площадь газового разряда в приборе, снизилось (выборка 1). Из этих диаграмм следует, что антенны сотовой связи массированно генерируют в окружающую среду высокочастотные S-излучения. Они оказывают негативное влияние на КЭП материи человека, что ухудшает здоровье.

2.4 Влияние С-излучений техники на стабильность окружающей среды

Материя, из которой состоит окружающая среда, также имеет КЭП. При этом происхождение С-излучений обуславливает их природную способность влиять на параметры КЭП любой другой материи. Об этом свидетельствуют результаты испытаний влияния С-излучений различного происхождения на здоровье, которые мы проводили на себе. Они показали, что их воздействие негативно влияет стабильность параметров КЭП организма человека, а тем самым на стабильность его материи и здоровье

Следовательно, массовый выброс С-излучений из техники в окружающую среду нарушает стабильность параметров КЭП материи окружающей среды, на что последовала реакция Космоса, о чём изложено ниже.

2.5 Оккупации Земли и Солнца ЭИП

Осенью 2002 мы сенсорно обнаружили далеко в Космосе область, которая резко выделялась на фоне ночного неба своими мощными С-излучениями. Она быстро росла и летом 2003 прибыла на Землю в виде крупнейшего ЭИП, (11). По прибытию, основная часть ЭИП ушла на Север. Но вблизи Одессы от него отделилось три поля по 10 км в диаметре и высотой 1,5 км. Вскоре они разделились на ЭИП, диаметр которых не превышал 1,5 км. Через месяц и эти поля разделились на более мелкие ЭИП, диаметр которых не превышал 30 метров. Эти ЭИП гроздьями и вполне целенаправленно разлетались в разные стороны по всей Евразии и, скорее всего, по всей Земле. Они зависала вблизи антенн сотовой связи, откуда тонкими лучами всасывали С-излучения, не забывая при этом высасывать, сквозь любые перекрытия зданий, квантовые энергии из людей и бытовой техники. Мощность этого отсоса тогда была такова, что у многих она вызывала головокружение. Но воздействие это ЭИП люди не ощущали, а укрыться от них не было никакой возможности.

Тогда же мы обнаружили, что если в сторону ЭИП, которое висит над домом, мысленно произнести фразу: «Тебя нет, не существует, рассейся», то оно мгновенно улетало. Поэтому мы пришли к выводу, что ЭИП являются разумной формой внеклеточной жизни. Эту фразу мы записали на магнитофон и уже много лет эффективно применяем её трансляцию для очистки здания от ЭИП.

Прибытие ЭИП на Землю ознаменовалось тем, что в течение августа 2003 в Париже и на Севере Италии, погибло более 70 тыс. человек, а одном из маленьких городков США тогда же погибло ещё 10 тыс. человек. Наука установила, что смерть людей наступила вследствие сердечно сосудистой недостаточности, которую обусловила 40 градусная жара, которая стояла в это время. Это, конечно, нонсенс, потому что люди не умирают и при гораздо более высоких температурах. Но свойства ЭИП свидетельствуют, что жара лишь расслабила людей, что позволило ЭИП, (которые в то время имели диаметр 1,5 км), без предела высасывать из них энергии. Это и обусловило массовую гибель людей от сердечнососудистой недостаточности. Вскоре ЭИП разделились на более мелкие поля, вследствие чего мощность отсоса ими энергий из людей снизилась, поэтому массовая гибель людей прекратилась.

К концу 2004 г. ЭИП опустились из атмосферы и оккупировали здания и транспорт. При этом они слились с ГИ, откуда сосут квантовые энергии, поэтому определить расположение ГИ с помощью биолокационной рамки уже невозможно. Однако, если здание очистить от ЭИП с помощью трансляции упомянутой выше записи, то биолокационная рамка сразу же начинает работать как прежде. Это свидетельствует о том, что здание было оккупировано ЭИП, что можно установить с помощью прибора ГРВ-компакт и других приборов.

В результате того, что ЭИП оккупировало Землю, человечество оказалось в среде, которая постоянно сосёт из техники и людей квантовые энергии. Это обуславливает рост ЭИП, а с ним и усиление отсоса из людей жизненно важных энергий. В результате чего происходит дальнейшее ухудшение здоровья людей и умирают совершенно здоровые люди, в том числе спортсмены. Поэтому необходимо, на основе стандартов, исключить выброс С-излучений из техники, что остановит рост ЭИП и улучшит здоровье населения.

2.6 Волны солнечных С-излучений и их регистрация

Летом 2003, когда ЭИП имели диаметр примерно по 1,5 км, Солнце было чрезвычайно активно, а его С-излучения обжигали кожу. Тогда же мы обнаружили, что если на автомобиле въехать под прикрытие такого ЭИП, то солнечные лучи перестают обжигать кожу. Следовательно, ЭИП высасывает из Солнца квантовые энергии, поэтому оккупировало не только Землю, но и Солнце.

Учитывая то, что любая материя состоит из энергий и имеет КЭП, материя, из которой состоит Солнце, в энергетическом плане, ничем не отличается от материи организма человека. Следовательно, материя Солнца также имеет КЭП, от параметров работы которого зависит стабильность его физического состояния. Поэтому массовая гибель людей в августе 2003, дала основание полагать, что отсос ЭИП энергий из Солнца обусловит для него такие же последствия, как для этих людей. Следовательно, результатом оккупации Солнца ЭИП явится, как минимум, снижение его активности, о чём было доложено на Всемирной конференции по изменению климата, (11).

Однако первые последствия отсоса квантовых энергий из Солнца проявились только весной 2012. Тогда стояла прохладная погода, которая каждые 2-3 минуты сменялась необычной жарой. Поэтому мы сенсорно просканировали пространство от Земли до Солнца. При этом обнаружили, что от него одна за другой идут волны солнечных С-излучений, которые и приносят это высокотемпературное тепло.

Приборов для регистрации этих волн не существует, поэтому физики национальной академии наук Украины запретили астрономическому журналу опубликовать нашу статью об этом. Тем не менее, с тех пор эти волны идут почти постоянно. Но наука о них до настоящего времени ничего не знает, потому что в спектре С-излучений не работает.

Поэтому, для получения объективной оценки существования этих волн, мы, в соответствии с Методами, периодически с декабря 2019 по февраль 2020 измеряли температуру коры нескольких деревьев с солнечной и с теневой сторон. При этом оказалось, что с солнечной стороны кора дерева периодами прогревалась до 54 градусов по Цельсию, а с теневой стороны не отличается от температуры воздуха. Вследствие чего контраст температуры коры деревьев колебался от 2 до 48 градусов.

Эти измерения мы проводили в безветренную солнечную погоду, поэтому на величину этого контраста могло влиять только солнечное тепло. Однако Солнце, согласно данным из Интернета, с 2018 беспрецедентно снизило свою

активность, поэтому тепловой поток солнечного тепла стабилен. Следовательно, изменение контраста температуры коры является объективным подтверждением существования волн солнечных С-излучений. При этом тепло, которое содержат эти волны, компенсирует то снижение теплового потока от Солнца, который поступал на Землю во времена его активности. Поэтому ожидаемый малый ледниковый период так и не наступил.

2.7 Происхождение природных очагов пандемии коронавируса

Наука пока не имеет однозначного мнения о происхождении вирусов (13).

Вместе с тем, эксперимент, который на 1 международном конгрессе: «Слабые и сверхслабые поля и излучения в биологии и медицине» экстрасенс Н.С. Кулагина проливает свет на их происхождение. Она продемонстрировала, как под воздействием С-излучений, которые исходили из её ладоней, в запаянной ампуле с водой возникала неизвестная форма жизни (3). Следовательно, информация, которую содержат С-излучения, влияет на КЭП воды, в результате чего в ней образуется новая форма жизни в виде вируса.

Известно также, что воздействие ГИ, которые проходят сквозь любые перекрытия зданий, вызывает возникновение многих заболеваний, (14-16). Механизм их происхождения обусловлен тем, что ГИ, (это те же С-излучения), вызывают возмущение в КЭП материи организма. В результате чего в ней образуются вирусы и, как следствие, заболевания, (2).

Кроме того, летом 2019 в Одессе многие люди жаловались, что на пляже, при хорошей погоде и отсутствии ветра, у них внезапно возникал насморк. Причём он очень долго не проходил, а иногда сопровождался высокой температурой.

Corresponding author этой статьи тогда также получил такой насморк. Температура тела не повышалась, но примерно через 3-4 недели инфекция опустилась в бронхи и стали отходить характерные мокроты. Причём, они имели необычное свойство цепляться за мокрый фаянс или пластик так, что сильная струя воды их не смывала. Причина этого свойства недавно раскрыли американские вирусологи, которые установили, что его белковое образование коронавируса в форме шипа захватывает чужие клетки в 4 раза сильнее, чем предыдущий вирус SARS, (17).

Следовательно, необычная цепкость мокроты свидетельствует о том, что её бывший владелец переболел коронавирусной инфекцией, которую содержали волны солнечных С-излучений.

О способности С-излучений переносить информацию показано в (3). На начальных этапах исследований С-излучений мы разрабатывали разного рода информации, которые способны влиять на здоровье. В том числе С-излучения, которые содержали информацию повышающую сексуальную потенцию. При этом установили, что она воздействует на мужчин и женщин сквозь две железобетонные стены лучше, чем Виагра.

Следовательно, солнечные С-излучения, способны переносить информацию, в том числе и такую, которая обуславливает развитие в организме коронавирусной инфекции. Причём, эта информация проходит сквозь железобетонные преграды.

Рассмотрим теперь причину, по которой Солнце генерирует информацию, вызывающую развитие коронавируса. В (3) показано, что любой больной орган человека генерирует С-излучения, информация которых отражает его физическое состояние.

Вместе с тем, выше было показано, что отсос ЭИП из Солнца квантовых энергии, влияет на параметры работы его КЭП, что ухудшает физическое состояние Солнца. По сути, оно заболело. Вследствие чего его КЭП генерирует волны солнечных С-излучений, а с ними и информацию, которая отражает его состояние. Эта информация влияет на КЭП человека, в результате чего в его организме развивается коронавирус и другие инфекции.

Кроме того, как показано выше, все тела Вселенной генерируют космические С-излучения. Некоторые из них содержат информацию, воздействие которой способно создавать в организме человека различные вирусы. Это и является причиной возникновения заболеваний, происхождение которых неизвестно.

После развития в организме коронавируса, эта инфекция приобретает свойство передаваться воздушно-капельным и другими путями, которые известны медицине. Однако это не исключает также возможность заражения людей посредством информации, которую содержат новые потоки солнечных С-излучений. Поэтому, чтобы исключить появление природных очагов заражения коронавирусом и повысить эффективность карантинных мер, необходимо защитить население от информации, которую содержат солнечные С-излучения. Меры для этой защиты приведены ниже.

Однако при анализе причин быстрого распространения в мире коронавируса настораживают результаты наших наблюдений в спектре С-излучений. Они показали, что вспышкам очагов коронавируса в Италии и других стран ЕС, предшествовало следующее. По геоцентрической орбите, на траверсе Одессы с Востока на Запад с интервалом в 120 градусов, в течение нескольких дней, медленно перемещалось 2 объекта. От них исходили мощнейшие С-излучения для которых 5 этажей, которые были в здании над нами, вовсе не являлись преградой.

Это даёт основание полагать, что С-излучения этих объектов усиливало действие волн солнечных С-излучений, что обусловило возникновение массовых очагов коронавируса. Поэтому локализованы они преимущественно в странах, которые расположены по траектории перемещения этих объектов вокруг Земного шара с Востока на Запад.

Поэтому представляется, что за подобными объектами необходимо вести наблюдения и принимать доступные меры безопасности.

2.8 Меры для предотвращения образование природных очагов коронавируса

В (3) показано, что люди с давних времён были знакомы с подобными информационными атаками из Космоса. Для защиты от них использовали, например, традиционные кровли зданий в Китае, которые имеют пагоду. Такая форма кровли обуславливает сток космических С-излучений, которые образуют квантовое поле, отражающее космические С-излучения. Поэтому такая кровля обеспечивает защиту людей от вирусных инфекций космического происхождения в зданиях и на прилегающих территориях. По-видимому, именно эти кровли, или конструкции аналогичного назначения, обусловили быстрое затухание в Китае очагов пандемии коронавируса.

Поэтому, для защиты населения городов от возникновения природных очагов пандемии целесообразно оснастить наиболее высокие дома кровлями шатрового типа с пагодой или другими конструкциями аналогичного назначения.

Кроме того, во время карантинов людям следует больше находиться на свежем воздухе. При этом необходимо, чтобы здания, пешеходы и транспорт имели защиту от космических С-излучений.

3. Обсуждение

В статье показано, что отсутствие у физики знаний в области С-излучений обусловило отсутствие стандартов на их ограничение в технике. Поэтому техника (главным образом сотовая связь и высокочастотная техника) непрерывно генерирует в окружающую среду С-излучения, что способно дестабилизировать её материю. По-видимому, по этой причине Землю и Солнце оккупировало ЭИП, которое высасывает из техники, Солнца и людей квантовые энергии. Солнце на это воздействие ЭИП реагирует тем, что генерирует волны солнечных С-излучений, информация которых обуславливает развитие в организме людей природных очагов коронавируса.

Поэтому с целью остановки пандемии, кроме карантинных, необходимо принять также меры, осуществление которых ликвидирует условия для возникновения природных очагов коронавируса. Для чего предлагаем:

1. С помощью радиостанций дальней космической связи очистить Солнце от ЭИП. Запись команды для этого нами разработана и испытана. Это позволит за 2-3 дня временно восстановить активность Солнца и остановить волны солнечных С-излучений, а с ними и возникновение природных очагов коронавируса. Параллельно необходимо осуществлять также приведенные ниже меры;
2. Обучить кадры знаниям в области С-излучений и на основе стандартов исключить выброс С-излучений из мировой техники. Это остановит рост ЭИП, улучшит здоровье людей и позволит приступить к уничтожению ЭИП на Земле и в Космосе;
3. Оснастить наиболее высокие здания в населённых местах конструкциями, которые отражают космические С-излучения. Это исключит возникновения природных очагов пандемии коронавируса и повысит эффективность карантинных;
4. Оснастить весь транспорт устройствами, которые создают квантовое поле, отражающее космические С-излучения, что исключит образование природных очагов пандемии;
5. Оснастить пешеходов лёгкими плащами и шляпами, материал которых отражает космические, в том числе и солнечные С-излучения, что защитит их от природного заражения коронавирусом и другими вирусами.
6. Разработать запись квантовых энергий, трансляция которых позволит разрушать информацию, которая обуславливает развитие коронавируса.
7. Оснастить все 42,000 спутников Starlink устройствами, которые формируют квантовое поле, отражающее солнечные С-излучения, а с ними и информацию вызывающую развитие коронавируса. Эта мера

также защитит аппаратуру спутников от воздействия солнечных С-излучений, что повысит её надёжность

8. Вменить в обязанность космических сил США и других стран выявлять в спектре С-излучений космические объекты, которые представляют потенциальную угрозу и принимать необходимые меры защиты.

Для выполнения этих мер нами разработаны необходимые технические решения. Их осуществление повысит эффективность карантинных мер, ускорит ликвидацию пандемии, а также обусловит подъём производства и оживит экономику.

Авторы приглашают всех желающих принять участие в обсуждении этой статьи.

4. Acknowledgements

The paper shows that matter has QEF. The authors express gratitude to Doctor of Physical and Atmospheric Sciences, Professor of Astronomy Department of Odessa State University named after Mechnikov, V.G. Karetnikov, Doctor of Physical and Mathematical Sciences, Professor, Director of the Main Astronomical Observatory of the National Academy of Sciences of Ukraine, Yatskiv Y.S. for providing telescopes on determination in 2002-2003, as well.

5. The competing interests

Authors declare lack of the competing interests

6. Литература

1. Scott P. Layne, James M. Hyman, David M. Morens and Jeffery K. Taubenberger. New coronavirus outbreak: Framing questions for pandemic prevention *Science Translational Medicine* 11 Mar 2020: Vol. 12, Issue 534, eabb1469 DOI: 10.1126/scitranslmed.abb1469
2. Korniienko V. Unknown radiations of the known materials (1999)//Hygiene of the inhabited places. Ukrainian scientific hygienic center. Release 34.. Page 382-386.
3. Korniienko V. The radiations causing diseases. Publishing house Kiev un-that (2002) Page 148
4. Einstein A. Air and relativity theory. Collection of scientific works. In four volumes (1965 — 1967) Volume 1. Page 685.
5. Maxwell J. K. The chosen compositions according to the theory of the electromagnetic field. — M.: GITTL, (1952). Page 632

6. Poynting J H On the Transfer of Energy in the Electromagnetic Field. (1884) (Philosophical Transactions of the Royal Society of London. 175: 343–361)
7. Belocrinicki V.S. Electromagnetic waves and new technologies of human health improvement. (2008) prod. PE "Photosynthetic," Odessa, 316 pages.
8. Belocrinicki V.S. Brain changes under microwave field action. (2002) Odessa Medical University. 399 p.
9. Korniienko V, Krasnovsky I, Filiptsov S. A research of safety of products in refrigerators (2005) //the Refrigerating equipment and technology. No. 4.c.57-60.
10. Korniienko V. On Standardization of C-Radiation Generated by Permanent Magnets. (2005)//Refrigeration and Technology № 6 c.102-104
11. Korniienko V. The Cause of Climate Change and How to Address It (2003) //World Conference on Climate Change Report Talking Points. Moscow 29 September - 3 October p. 509 (Ru)
12. Korniienko V. G. Ecological disaster caused by the growth of extracellular.//Hygiene of the population. Institute of Hygiene and Medical Ecology named after O.M.Marzeyev of the Academy of Medical Sciences of Ukraine. Release 46. 2005. page 547-554.
13. Patrick Forterreab The origin of viruses and their possible roles in major evolutionary transitions Virus Research Volume 117, Issue 1, April 2006, Pages 5-16 <https://doi.org/10.1016/j.virusres.2006.01.01011>
14. Dubrov A.P.. Terrestrial radiation and human health. Publishing house M.: Argumenty i Fakty (1992) Page 57
15. Bachler K. Eartch Radiation.(!989) Manchster, Wordmasters
16. Hartmann E. Krankhelt ats Standortproblem (1976).
17. Shang, J., Ye, G., Shi, K. *et al.* Structural basis of receptor recognition by SARS-CoV-2. *Nature* (2020). <https://doi.org/10.1038/s41586-020-2179-y>

Дополнительные материалы

1. Методы

Основаны на применении прибора ГРВ компакт (GDV Scientific Laboratory), который выпускается в России и сертифицирован в США, Японии, ЕС и других странах. С помощью этого прибора мы оценивали влияние S-излучений, на площадь электрического разряда в его газоразрядной камере, в пикселях, которые легко пересчитать в децибелы. Этот прибор дискретного действия, поэтому в исследованиях были задействованы также сенсорные ощущения в ладонях экспертов. Последнее позволило значительно ускорить исследования и раскрыть многие свойства S-излучений, в том числе и то, что они выходят за пределы материи через её острые кромки. Это свойство S-

излучений мы использовали в конструкции устройства, описание которого приведено ниже, которым дополнили прибор ГРВ компакт, что позволило получать результаты исследований в режиме реального времени.

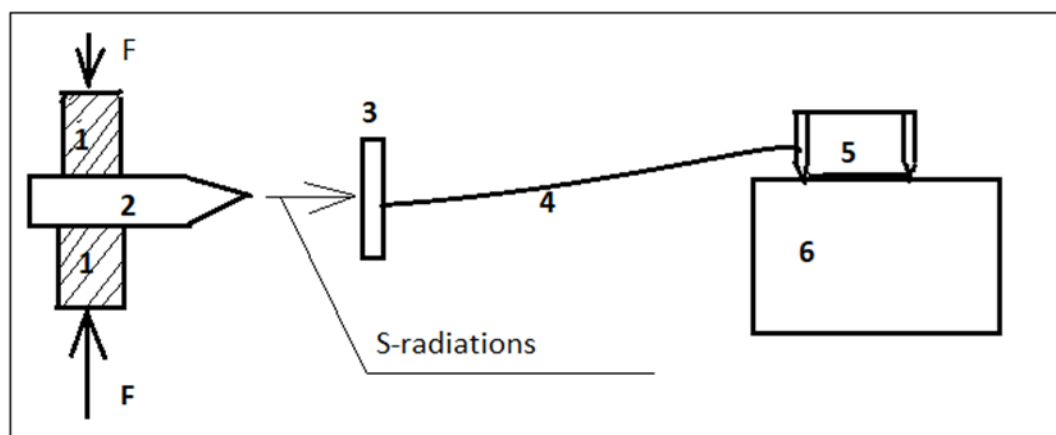


Рис. 1 Блок - схема экспериментальной установки

На рис. 1 показаны тиски 1, в которых сжимали с силой F (10 Н х м) деревянную линейку (650x20x6 мм), а также металлическую линейку (180x20x5 мм), 2, которые на одном из концов имели заострение. В результате сжатия линеек, из их острия выходит поток S-излучений. Для его оценки было применено устройство, упомянутое выше. Оно состояло из датчика 3, который был установлен в потоке С-излучений, на расстоянии 80 мм от заострения линеек. Это датчик 3 выполнен в виде пластины из бериллиевой бронзы (20 x 20 x 1 мм), которую соединили экранированным электрическим проводом 4 с медным кольцом 5 (50 x 10 мм), один торец которого имел заострение. Это кольцо мы установили над газоразрядной камерой прибора ГРВ компакт 6, заостренным торцом в сторону камеры.

Измерения осуществлялись в автоматическом режиме, без присутствия людей. При этом параметры электрического разряда в камере прибора фиксировала видеокамера. Количество импульсов в серии устанавливали от 30 до 40. Время между импульсами – 3 сек. При наличии резких отклонений в совокупности выборки, 1-2 результата исключались из расчётов.

Этот же датчик мы использовали для измерения уровня ГИ. Для этого его установили в горизонтальном положении на фокусе луча ГИ, т.е. в центральной его части, где интенсивность излучений максимальна. Длительность измерений – 24 часа. Интервал между импульсами - 2 минуты.

Для оценки S-излучений, которые генерируют антенны сотовой связи, в качестве приёмного устройства была использована трубка из органического стекла длиной 150 мм, диаметр которой составлял 40 мм с осевым отверстием диаметром 10 мм. В конце трубки установлен миниатюрный микрофон, выводы которого были соединены с динамиком через магнитный усилитель. Для отсечения электромагнитных волн сотовой связи, динамик был соединён, через магнитную развязку, одножильным проводом с описанным выше кольцом 5, которое устанавливалось над камерой прибора ГРВ компакт 6. Трубка эта устанавливалась на штативе на расстоянии 30 метров от антенны сотовой связи и была нацелена на неё. Замеры уровня S-излучений, которые исходили из антенн сотовой связи, проводились с помощью прибора ГРВ-компакт в двух режимах. Первый - обычный режим работы антенны. Второй – после подключения нейтрализатора S-излучений к клеммам питания 380V рабочей станции сотовой связи, которая преобразует и передаёт сигналы на антенны сотовой связи. Нейтрализующее устройство было разработано нами на основе свойств S-излучений, эффективность которого ранее неоднократно проверялась.

Математическая обработка результатов измерений осуществлял компьютер по многофакторной программе с использованием методов математической статистики и теории вероятностей с погрешностью до 95%, которые выдавал результат в виде диаграмм.

Для подтверждения наличия волн солнечных С-излучений и оценки их влияния на нагрев коры деревьев, мы применили ручной пирометр типа MS6531C. С его помощью мы, с расстояния около 1 метра, измеряли температуру коры деревьев с солнечной и теневой сторон с точностью до десятых долей градуса.